

Влияние параметров спеченной наплавочной ленты на структуру и свойства наплавленного металла и зоны термического влияния

... *a*, ... *b*, ... *c* ... , 38, ...
^ageneral@tyuiu.ru, ^bmolodej8980@gmail.com, ^cdon-andre-1990@yandex.ru
^ahttps://orcid.org/0000-0003-3309-8860, ^bhttps://orcid.org/0000-0002-8053-2204,
^chttps://orcid.org/0000-0001-7927-8889
 12.12.2017, 9.01.2018

... 053-08 ...
 50 ° ...
 800–820 ° , 4–6) 1 2014 . 20 500 ° , -
 09 31 8 2 053-08,
 -04 19 11 3 - - 32 8.
 ...
 ... 6,2 %
 ... - 5,6 %
 ... ; ; ; ;

Influence of the parameters of the sintered surfacing tape on the structure and properties of the weld metal and the zone of thermal influence

A.A. Galinsky^a, E.S. Dvoynikov^b, U.S. Putilova^c

Tyumen Industrial University; 38, Volodarsky St., Tyumen, Russia
^ageneral@tyuiu.ru, ^bmolodej8980@gmail.com, ^cdon-andre-1990@yandex.ru
^ahttps://orcid.org/0000-0003-3309-8860, ^bhttps://orcid.org/0000-0002-8053-2204,
^chttps://orcid.org/0000-0001-7927-8889
 Received 12.12.2017, accepted 9.01.2018

The article discusses the lack of methods of calculation of modes of automatic welding under the flux layer sintered tape, taking into account its characteristics and technological parameters influencing the formation of weld metal. The problem is that the process of surfacing, in accordance with the applicable standard ST CKBA 053-08 provides only for manual arc surfacing with coated electrodes of ELZ- 1. The process of manual arc welding electrodes of ELZ- 1 provides for the cladding of each subsequent coat after the previous cooling to a temperature of 50 °C outdoors. Given the low deposition rates and the need for subsequent heat treatment (load in the furnace at a temperature of from 20°C to 500°C, heating to a temperature of 800-820°C, exposure for 4-6 hours and air cooling). On August 1, 2014, amendments were made to the standard ST CKBA 053-08. In accordance with the changes for surfacing of sealing surfaces with the chemical composition of the type 09 31 8 2, it is proposed to use a method of automatic welding under flux with application of welding wire of SV-04 19 11 3 and flux ELZ-FKN- 32 8. Thus, the graphical dependencies presented in the article indicate that the magnitude of the welding current exerts the greatest influence on the depth of penetration, whereas the dependence on the voltage and the welding speed is insignificant. In accordance with the noted regularity, as the voltage increases, an increase in penetration occurs, but in the case of a surfacing rate, an inverse relationship is observed. The models developed by the authors are adequate, the error in determining the width of the roller does not exceed 6.2%, the depth of penetration is 5.6%.

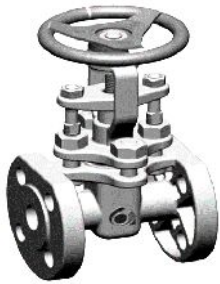
Keywords: automation; ceramic sintered surfacing tape; surfacing; hardness of the surfacing layer.

40 , 2

».
40 [3].

1. -

2. -



.1.

17 : , -

-1202. , -

12 18 10 -
« » -

(), ,

« “ ”» -

09 31 8 2. , -

053-08, -

1 62 [4]. -

1 50 ° -

«SolidWorks 2017». -

[1]. -

Statistica 6.1 Microsoft Excel. -

(20 500 ° ,
800-820 ° , 4-6

, 1 2014 .
053-08. -

09 31 8 2 -

-04 19 11 3 -

- 32 8 [2]. -

1,6; 2,0; 3,0 -

400 -

[5]. -

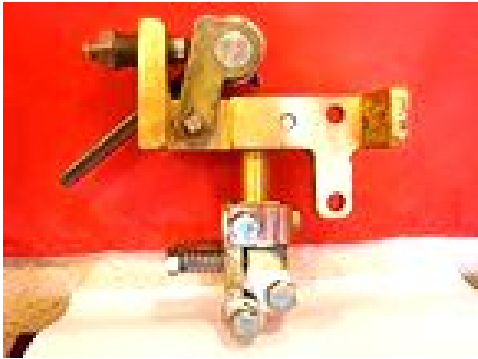
-26 -

09 31 8 2 -

-09 31 8 2 -

-26.

300x250x16
 053-08, . 1 .
 12 18 10 , -26 9087-
 81, -09 31 8 2 2 10 .
 -17
 (. 2)
).
 -1202 [5].



. 2.

-17

Leco c « »

STEMISV8.

PMI-MASTER UVR,

— 830 , — 0,28 / .
 30-32 , 2 , 30 .
 . 1 [6].

	, . %							
	r	Ni	Si	Mn	S	P	Mo	
	0,12	24,0–33,0	7,0–9,0	1,2	0,6–1,3	0,03	0,03	3,0–4,5
1	0,09	26,0	7,1	0,67	1,1	+	+	3,4
2	0,11	29,0	8,5	0,8	0,7	+	+	4,1
3	0,8	30,	7,9	1,0	1,2	+	+	3,6

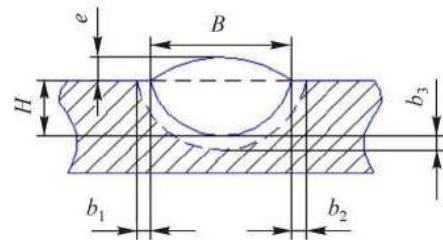
: «+» —

. 1 .
 -09 31 8 2
 .
 -
 -
 , , ,
 -
 (,
)
 2 , 10
 . 2.
 [6].
 2

	I_1 (I), A	U_2 (U), B	V_3 (V), /
	500	35	21
	600	40	27
	400	30	15
	100	5	6

— 90 , — 30 , — 300
 , — 250 ,
 — 18 . 20

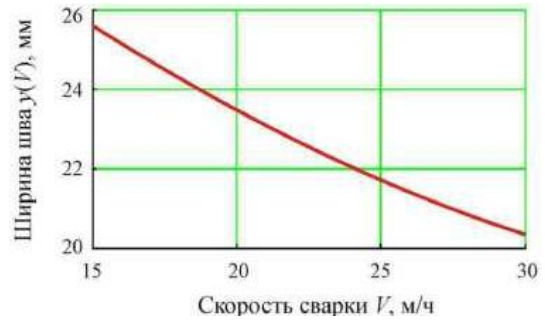
(. 3).
 B, H, b . 3.



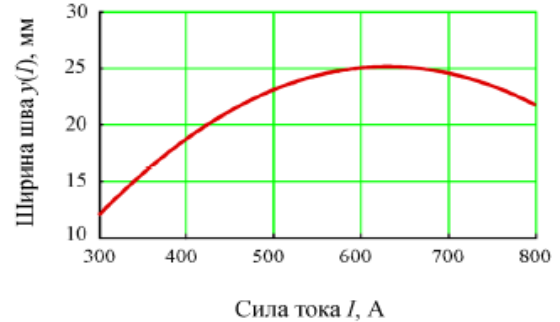
. 3.
 ; — ; —
 , ; b_1, b_2, b_3 —
 3

				$b,$
1	23,6	6,5	2,0	2,0
2	16,2	5,6	2,4	1,6
3	19,5	6,7	2,7	1,7
4	17,6	3,1	1,7	1,4

				<i>b</i> ,
5	33,3	8,2	2,5	2,7
6	23,3	5,2	2,5	3,0
7	27,1	7,5	3,9	3,4
8	21,3	4,8	2,6	2,0
9	24,8	9,4	2,5	3,8
10	14,2	2,8	1,7	1,8
11	25,1	5,2	2,3	2,2
12	18,5	5,8	2,9	1,6
13	18,2	4,7	1,9	1,7
14	31,8	6,6	2,2	4,3
15	24,7	6,5	1,6	2,5
16	23,9	5	2,6	2,0
17	21,9	6,1	3,1	1,9
18	24,2	4,9	2,8	2,3
19	22,4	4,9	2	1,9
20	23,6	5,2	1,9	1,9



4. ($I = 500$, $U = 35$)



5. ($I = 500$, $V = 21$ /)

3, 7 17

Заданное уравнение регрессии 2-го порядка трех факторного эксперимента имеет вид:

$$y = b_0 + b_1x_1 + b_2x_2 + b_3x_3 + b_{12}x_1x_2 + b_{13}x_1x_3 + b_{23}x_2x_3 + b_{11}x_1^2 + b_{22}x_2^2 + b_{33}x_3^2; \quad (1)$$

где x_1, x_2, x_3 — факторы эксперимента; y — результат эксперимента.

Следующий вид уравнения регрессии описывает совместное влияние параметров режима наплавки на ширину наплавленного валика:

$$B = 23,1 + 3,14I + 1,61U - 3,73V + 1,21IU - 0,81IV - 1,2I^2 + 0,75V^2. \quad (2)$$

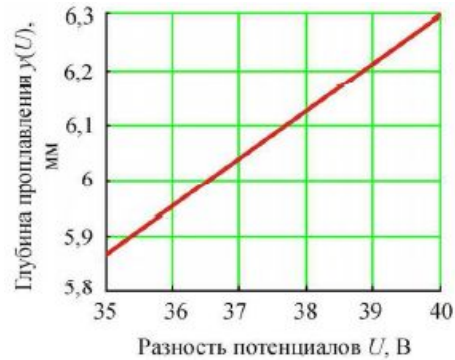
где B — ширина валика, мм; I — сила тока, А; U — разность потенциалов, В; V — скорость сварки, м/ч.

Экспериментальная зависимость глубины проплавления от силы тока и разности потенциалов описывается уравнением:

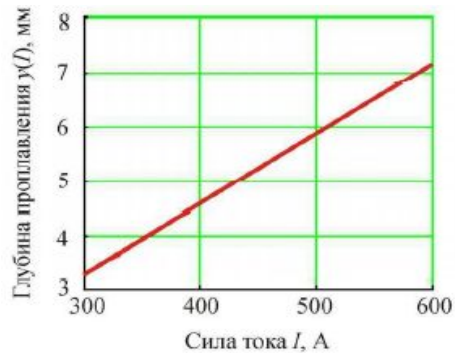
$$y = b_0 + b_1x_1 + b_2x_2 + b_3x_3. \quad (3)$$

где y — глубина проплавления, мм; x_1 — сила тока, А; x_2 — разность потенциалов, В; x_3 — скорость сварки, м/ч.

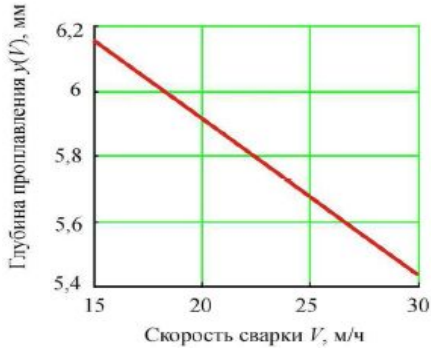
$$h = 5,87 + 1,23I + 0,43U - 0,48V \quad (4)$$



6. ($I = 500$ A, $V = 21$ /)



7. ($U = 35$, $V = 21$ /)



8. (I = 500 A, U = 35 В)

(3).

(4).

			%			%
3	21,4	19,5	8,9	6,4	6,7	4,5
7	25,9	27,1	4,4	7,0	7,5	6,7
17	23,1	21,9	5,1	5,8	6,1	5,2

6,2 %

— 5,6 %

-09 31 8 2

-26

[7].

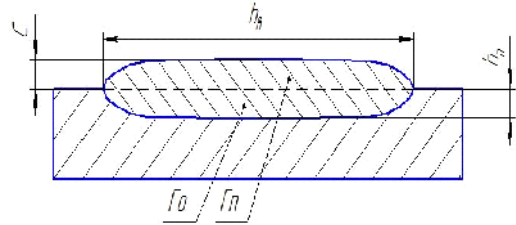
-09 31 8 2

-26

Fo

F, ...

$$\gamma = \frac{Fo}{Fo + F} \quad (5)$$



9.

10, 20, 30, 40

2

12 18 10

20

830

0,28 /

— 30–32

-17

-1202.

4

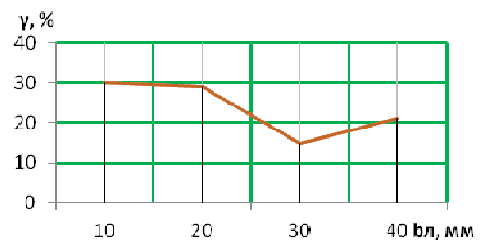
5.

5

			b,	h,
1	10	7,2	21	3,1
2	20	6,4	29	2,6
3	30	5,7	41	1,0
4	40	4,5	54	1,2

b

(10).



10.

; b —

: y —

